Date: 05/10/2011 Page: 1/9 Responsable: Samuel GENIAUT Clé: V3.04.314 Révision: 7387

# SSLV314 – Propagation plane d'une fissure débouchante avec X-FEM

### Résumé:

Le but de ce test est de comparer les méthodes de propagation simplexe, maillage, upwind et géométrique de l'opérateur PROPA FISS pour une fissure 3D sollicitée en mode I pur.

Date: 05/10/2011 Page: 2/9 Responsable: Samuel GENIAUT Clé: V3.04.314 Révision: 7387

## Problème de référence

#### 1.1 Géométrie

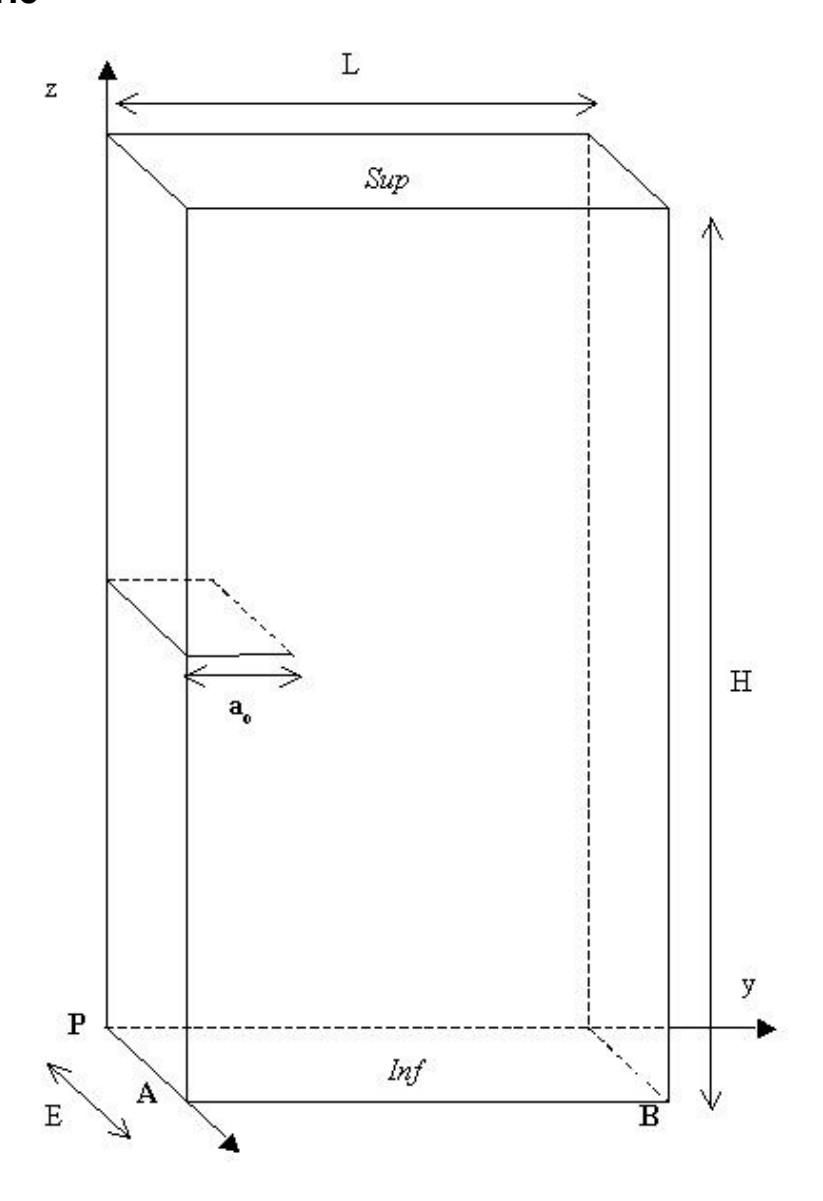


Figure 1.1-a: géométrie de la plaque fissurée

Dimensions géométriques de la plaque fissurée:

largeur L=8mépaisseur E=1 mhauteur H=18 m

La fissure est horizontale, le front étant initialement positionné en (x, 2, 9) .

Date: 05/10/2011 Page: 3/9 Responsable: Samuel GENIAUT Clé: V3.04.314 Révision: 7387

### 1.2 Propriétés du matériau

Module de Young E = 205000 MPaCoefficient de Poisson v = 0.3

### 1.3 **Conditions aux limites et chargements**

. Conditions aux limites:

Point  $P: \Delta X = \Delta Y = \Delta Z = 0$ 

Points sur le segment  $AB: \Delta X = \Delta Z = 0$ Points sur la surface INF :  $\Delta Z = 0$ 

Chargement:

Pression sur la surface SUP : P = -1 MPa

### Solution de référence

Les résultats de la modélisation B (méthode Maillage) sont pris comme référence.

Pour les modélisation B et C, on vérifie la non régression du code par rapport à la position du fond de

Pour les modélisations A, D et E, on vérifie que les nœuds les plus proches de la trace du fond de fissure sur le plan (1, y, z) au dernier instant de propagation ont leurs level-sets très proches de

Instant de propagation	Nœud	Coordonnée $y_i$	Coordonnée $z_i$
	N926	2.33	8.80
3	N1028	2.33	9.00
	N1130	2.33	9.20

Ces nœuds sont ceux inclus dans un rayon de capture valant la plus grande arête d'un élément, centré sur la trace du fond de fissure sur le plan (1, y, z).

On identifie ces nœuds dans le .mess de la modélisation B et l'on estime la valeur de leurs level-sets dans les modélisations A, D et E.

Date: 05/10/2011 Page: 4/9 Responsable: Samuel GENIAUT Clé: V3.04.314 Révision: 7387

### Modélisation A

### 3.1 Caractéristiques de la modélisation

La méthode simplexe est utilisée par PROPA\_FISS.

### 3.2 Caractéristiques du maillage

La structure est modélisée par un maillage composé de 2040 éléments HEXA8 (voir Figure 3.2-a).

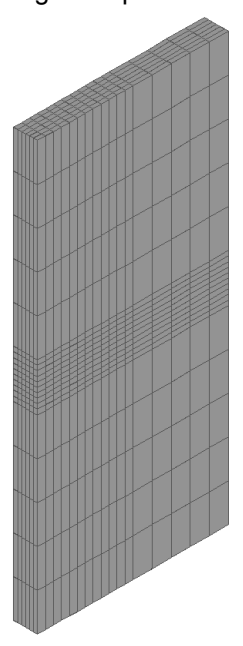


Figure 3.2-a: maillage de la structure

Le maillage est très grossier pour réduire le temps de calcul. Des éléments un peu plus petits sont utilisés dans la zone de propagation de la fissure. La dimension des éléments est  $0.17 \times 0.33 \times 0.2 \, m$ dans cette zone. L'élément le plus grand utilisé a une dimension égale à  $0.17 \times 0.8 \times 1.6 \, m$ .

#### 3.3 Grandeurs testées et résultats

On extrait la level set normale ( LSN ) et tangente ( LST ) en utilisant l'opérateur POST RELEVE T et on vérifie que les valeurs maximale et minimale restent comprises dans le rayon de capture des nœuds testés autour du front de fissure, soit 1/3 :

Propag. i	$Max LSN_i$	$Min LSN_i$	$Max LST_i$	Min LST i
3	0.2	0.2	0.267	0.267

Les résultats obtenus montrent bien que les level-sets restent inférieures au rayon dans lequel le front de fissure a été localisé. Cela signifie que le fond de fissure a été correctement localisé par la méthode simplexe.

Date: 05/10/2011 Page: 5/9 Responsable: Samuel GENIAUT Clé: V3.04.314 Révision: 7387

#### Modélisation B 4

### Caractéristiques de la modélisation 4.1

La méthode MAILLAGE est utilisée par PROPA FISS. L'option CALC K G est utilisée par CALC G pour estimer les facteurs d'intensité de contraintes.

### Caractéristiques du maillage 4.2

On utilise le même maillage que pour la modélisation A.

#### Grandeurs testées et résultats 4.3

On teste, en non régression avec une tolérance de 0.1%, la position du fond de fissure à la dernière itération de propagation en relevant les extrema des ordonnées des points qui le composent.

Instant de propagation	Max Coord y <sub>i</sub>	$Min Coord y_i$	
3	2.6	2.57	

Version default

Titre : SSLV314 - Propagation plane d'une fissure déboucha[...]

Date : 05/10/2011 Page : 6/9

Responsable : Samuel GENIAUT Clé : V3.04.314 Révision : 7387

### 5 Modélisation C

### 5.1 Caractéristiques de la modélisation

La méthode MAILLAGE est utilisée par PROPA\_FISS. L'opérateur POST K1 K2 K3 est utilisé pour estimer les facteurs d'intensité de contraintes.

### 5.2 Caractéristiques du maillage

On utilise le même maillage que pour la modélisation A.

### 5.3 Grandeurs testées et résultats

On teste, en non régression avec une tolérance de 0.1%, la position du fond de fissure à la dernière itération de propagation en relevant les extrema des ordonnées des points qui le composent.

Instant de propagation	$Max Coord y_i$	$Min Coord y_i$	
3	2.6	2.592	

Date: 05/10/2011 Page: 7/9 Responsable: Samuel GENIAUT Clé: V3.04.314 Révision: 7387

### Modélisation D 6

### 6.1 Caractéristiques de la modélisation

La méthode UPWIND sans grille auxiliaire est utilisée par PROPA FISS.

### 6.2 Caractéristiques du maillage

On utilise le même maillage que celui de la modélisation A.

#### 6.3 Grandeurs testées et résultats

On extrait la level-set normale ( LSN ) et tangente ( LST ) en utilisant l'opérateur POST RELEVE T et on vérifie que les valeurs maximale et minimale restent comprises dans le rayon de capture des nœuds testés autour du front de fissure, soit 1/3 :

Propag.i	$Max LSN_i$	$MinLSN_i$	$Max LST_i$	$Min  LST_i$
3	0.2	0.2	0.267	0.267

Les résultats obtenus montrent bien que les level-sets restent inférieures au rayon dans lequel le front de fissure a été localisé. Cela signifie que le fond de fissure a été correctement localisé par la méthode upwind.

Version default

Titre: SSLV314 - Propagation plane d'une fissure déboucha[...]

Date: 05/10/2011 Page: 8/9 Responsable: Samuel GENIAUT Clé: V3.04.314 Révision: 7387

### Modélisation E 7

### 7.1 Caractéristiques de la modélisation

La méthode GEOMETRIQUE est utilisée par PROPA FISS.

### 7.2 Caractéristiques du maillage

On utilise le même maillage que celui de la modélisation A.

#### 7.3 Grandeurs testées et résultats

On extrait la level-set normale ( LSN ) et tangente ( LST ) en utilisant l'opérateur POST RELEVE T et on vérifie que les valeurs maximale et minimale restent comprises dans le rayon de capture des nœuds testés autour du front de fissure, soit 1/3 :

Propag. i	$Max LSN_i$	$Min\ LSN_i$	$Max LST_i$	Min LST <sub>i</sub>
3	0.2	0.2	0.267	0.267

Les résultats obtenus montrent bien que les level-sets restent inférieures au rayon dans lequel le front de fissure a été localisé. Cela signifie que le fond de fissure a été correctement localisé par la méthode géométrique.

Date: 05/10/2011 Page: 9/9 Responsable: Samuel GENIAUT Clé: V3.04.314 Révision: 7387

### Synthèse des résultats 8

Toutes les méthodes de propagation utilisées (simplexe, maillage, upwind et géométrique) de l'opérateur PROPA FISS ont permis de bien calculer la position d'une fissure propageant en mode  $\,I\,$ pur dans une structure 3D.